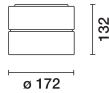


Letzte Aktualisierung der Informationen: Januar 2025

**Produktkonfiguration: RN80.R7**

RN80.R7: Deckenleuchte - Ø172 - Allgemeinbeleuchtung - Weiß/Durchsichtig/Schwarz Durchsichtig

**Produktcode**

RN80.R7: Deckenleuchte - Ø172 - Allgemeinbeleuchtung - Weiß/Durchsichtig/Schwarz Durchsichtig

**Beschreibung**

Leuchte für direkte Beleuchtung - Deckeninstallation. LED-Lichtquelle mit hohem Farbwiedergabeindex - Hochleistungsfähige Lichtemission mit hoher Leuchtleistung für den Einsatz als Allgemeinbeleuchtung. Lichtausgabeaggregat aus PMMA bestehend aus durchsichtigem Reflektor mit Prismenstruktur kombiniert mit Lichtstromverstärker und Blendschutz - eine interne Abdeckung aus Polycarbonat definiert das Aussehen des Leuchtengehäuses. Außenstruktur des Dual-Leuchtengehäuses aus gedrehtem Aluminium - Finish in einheitlicher oder kombinierter Lackierung. Mit dem praktischen Bajonett-Befestigungssystem können die beiden Teile der Leuchte für Verkabelungsarbeiten getrennt werden - ein Sicherungskabel aus Stahl verhindert das Herunterfallen der Elemente. Dimmbare DALI-Versorgungseinheit integriert im Leuchtenkorpus. Der Leuchtenkörper in der PURE-Ausführung unterscheidet sich durch den Außenring unten aus durchscheinendem Strukturmaterial.

**Installation**

Der Einbau erfolgt direkt auf dem mithilfe des Bajonett-Systems teilbaren Gehäuse.

**Farben**

Weiß/Durchsichtig/Schwarz Durchsichtig (R7)

**Gewicht (Kg)**

1.09

**Montage**

Deckenanbauleuchte

**Verkabelung**

Integriertes dimmbares DALI- Vorschaltgerät - die Kabelklemme befindet sich im oberen Teil des Gehäuses.

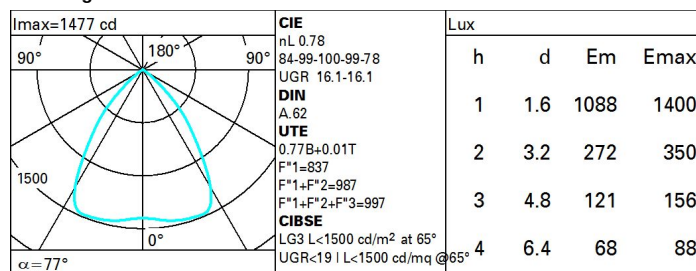
Gemäß der Normen EN60598-1 u. Sondernormen



IP40

**Technische Daten**

|                                                             |       |                                   |        |
|-------------------------------------------------------------|-------|-----------------------------------|--------|
| Im System:                                                  | 2262  | CRI (minimum):                    | 90     |
| W System:                                                   | 21    | Farbtemperatur [K]:               | 3000   |
| Im Lichtquelle:                                             | 2900  | MacAdam Step:                     | 2      |
| W Lichtquelle:                                              | 21    | Lampencode:                       | LED    |
| Lichtausbeute (lm/W, Systemwert):                           | 107.7 | Anzahl Lampen in Leuchtengehäuse: | 1      |
| Im im Notlichtbetrieb:                                      | -     | ZVEI-Code:                        | LED    |
| abgegebener Lichtstrom bei/ über einem Winkel von 90° [lm]: | 24    | Anzahl Leuchtengehäuse:           | 1      |
| Leuchtenbetriebswirkungsgrad 78 (L.O.R.) [%]:               |       | Control:                          | DALI-2 |

**Polardiagramm**

| R    | 77 | 75 | 73 | 71 | 55 | 53 | 33 | 00 | DDR |
|------|----|----|----|----|----|----|----|----|-----|
| K0.8 | 64 | 59 | 56 | 53 | 58 | 55 | 54 | 51 | 66  |
| 1.0  | 68 | 64 | 60 | 58 | 63 | 60 | 59 | 56 | 72  |
| 1.5  | 74 | 70 | 68 | 65 | 69 | 67 | 66 | 63 | 81  |
| 2.0  | 77 | 74 | 72 | 70 | 73 | 71 | 70 | 67 | 87  |
| 2.5  | 79 | 77 | 75 | 73 | 75 | 74 | 73 | 70 | 91  |
| 3.0  | 80 | 78 | 77 | 75 | 77 | 75 | 74 | 72 | 93  |
| 4.0  | 81 | 80 | 79 | 78 | 78 | 77 | 76 | 73 | 95  |
| 5.0  | 82 | 81 | 80 | 79 | 79 | 78 | 77 | 74 | 96  |

| QC | A | G | 1.15 | 2000 | 1000 | 500  | <=300 |      |       |
|----|---|---|------|------|------|------|-------|------|-------|
|    | B |   | 1.50 |      | 2000 | 1000 | 750   | 500  | <=300 |
|    | C |   | 1.85 |      |      | 2000 |       | 1000 | 500   |

The graph shows the relationship between the angle of incidence  $\alpha$  (in degrees) and the irradiance  $E$  (in  $\text{cd/m}^2$ ) for different wavelengths  $\lambda$  and distances  $d$ . The x-axis is logarithmic, ranging from  $10^2$  to  $10^4$ . The y-axis ranges from  $45^\circ$  to  $85^\circ$ . The graph is divided into two regions: C0-180 (blue) and C90-270 (red). The top part of the graph shows a table of values for different wavelengths  $\lambda$  and distances  $d$ .

| Corrected UGR values (at 2900 lm bare lamp luminous flux)               |     |                     |      |      |      |                   |      |      |      |      |      |
|-------------------------------------------------------------------------|-----|---------------------|------|------|------|-------------------|------|------|------|------|------|
| Reflect.:<br>ceiling<br>walls<br>work pl.<br>Room dim<br>x            y |     | 0.70                | 0.70 | 0.50 | 0.50 | 0.30              | 0.70 | 0.70 | 0.50 | 0.50 | 0.30 |
|                                                                         |     | 0.50                | 0.30 | 0.50 | 0.30 | 0.30              | 0.50 | 0.30 | 0.50 | 0.30 | 0.30 |
|                                                                         |     | 0.20                | 0.20 | 0.20 | 0.20 | 0.20              | 0.20 | 0.20 | 0.20 | 0.20 | 0.20 |
|                                                                         |     | viewed<br>crosswise |      |      |      | viewed<br>endwise |      |      |      |      |      |
| 2H                                                                      | 2H  | 16.6                | 17.4 | 16.9 | 17.7 | 17.9              | 16.6 | 17.4 | 16.9 | 17.7 | 17.9 |
|                                                                         | 3H  | 16.5                | 17.2 | 16.8 | 17.5 | 17.8              | 16.5 | 17.2 | 16.9 | 17.5 | 17.8 |
|                                                                         | 4H  | 16.4                | 17.1 | 16.8 | 17.4 | 17.7              | 16.4 | 17.1 | 16.8 | 17.4 | 17.7 |
|                                                                         | 6H  | 16.4                | 16.9 | 16.7 | 17.3 | 17.6              | 16.4 | 16.9 | 16.7 | 17.3 | 17.6 |
|                                                                         | 8H  | 16.3                | 16.9 | 16.7 | 17.2 | 17.6              | 16.3 | 16.9 | 16.7 | 17.2 | 17.6 |
|                                                                         | 12H | 16.3                | 16.8 | 16.7 | 17.2 | 17.6              | 16.3 | 16.8 | 16.7 | 17.2 | 17.6 |
| 4H                                                                      | 2H  | 16.4                | 17.1 | 16.8 | 17.4 | 17.7              | 16.4 | 17.1 | 16.8 | 17.4 | 17.7 |
|                                                                         | 3H  | 16.3                | 16.8 | 16.7 | 17.2 | 17.6              | 16.3 | 16.8 | 16.7 | 17.2 | 17.6 |
|                                                                         | 4H  | 16.2                | 16.7 | 16.6 | 17.1 | 17.5              | 16.2 | 16.7 | 16.6 | 17.1 | 17.5 |
|                                                                         | 6H  | 16.1                | 16.6 | 16.6 | 17.0 | 17.4              | 16.1 | 16.5 | 16.6 | 17.0 | 17.4 |
|                                                                         | 8H  | 16.1                | 16.5 | 16.6 | 16.9 | 17.4              | 16.1 | 16.5 | 16.6 | 16.9 | 17.4 |
|                                                                         | 12H | 16.1                | 16.4 | 16.5 | 16.8 | 17.3              | 16.0 | 16.4 | 16.5 | 16.8 | 17.3 |
| 6H                                                                      | 4H  | 16.1                | 16.5 | 16.6 | 16.9 | 17.4              | 16.1 | 16.5 | 16.6 | 16.9 | 17.4 |
|                                                                         | 6H  | 16.0                | 16.3 | 16.5 | 16.8 | 17.3              | 16.0 | 16.3 | 16.5 | 16.8 | 17.3 |
|                                                                         | 8H  | 16.0                | 16.2 | 16.5 | 16.7 | 17.2              | 16.0 | 16.2 | 16.5 | 16.7 | 17.2 |
|                                                                         | 12H | 15.9                | 16.1 | 16.4 | 16.7 | 17.2              | 15.9 | 16.1 | 16.4 | 16.6 | 17.2 |
| 12H                                                                     | 4H  | 16.0                | 16.4 | 16.5 | 16.8 | 17.3              | 16.1 | 16.4 | 16.5 | 16.8 | 17.3 |
|                                                                         | 6H  | 16.0                | 16.2 | 16.5 | 16.7 | 17.2              | 16.0 | 16.2 | 16.5 | 16.7 | 17.2 |
|                                                                         | 8H  | 15.9                | 16.1 | 16.4 | 16.6 | 17.2              | 15.9 | 16.1 | 16.4 | 16.7 | 17.2 |

Variations with the observer position at spacing:

S =    1.0H                      2.8 / -7.6                      2.8 / -7.6

         1.5H                      5.3 / -11.8                      5.3 / -11.8

         2.0H                      7.3 / -13.8                      7.3 / -13.8